

©1994

## ДИНАМИЧЕСКАЯ ЛАУЭ-ДИФРАКЦИЯ НА ГАРМОНИЧЕСКОЙ СВЕРХРЕШЕТКЕ СО СТАТИСТИЧЕСКИ РАСПРЕДЕЛЕННЫМИ АМОРФНЫМИ КЛАСТЕРАМИ

*К.М.Павлов, В.И.Пунегов*

Теоретически рассмотрена динамическая Лауэ-дифракция на одномерной гармонической сверхрешетке с микродефектами. Получены уравнения для когерентных и диффузных компонент проходящих и отраженных волн. В численном эксперименте использована модель сверхрешетки с длиной модуляции, существенно меньшей длины экстинкции. Установлено, что угловой профиль отраженной и проходящей интенсивности зависит от статического фактора Дебая-Валлера и характерных параметров модуляции решетки. Анализируются изменения периода маятниковых биений неидеальной сверхрешетки в угловых областях основного пика и сателлитов в зависимости от величины статического фактора и амплитуды модуляции. Показано, что в области основного отражения и прохождения маятниковый период увеличивается с увеличением деформации и уменьшением статического фактора. В угловой области первого сателлита этот период увеличивается с уменьшением статфактора и уменьшается с увеличением деформации решетки.

Модель гармонической сверхрешетки достаточно адекватно отражает деформацию кристаллической решетки, например, под воздействием ультразвуковой волны [1]. Для описания дифракции рентгеновских лучей на синусоидально-модулированном кристалле используются различные подходы. Как правило, эти подходы базируются на теории многоволновой дифракции [1] и уравнениях Такаги-Топэна [2].

Работа Като [3] послужила исходным материалом для развития теорий дифракции в многослойных [4-6] и модулированных [7,8] структурах с микродефектами. Однако уравнения статистической динамической дифракции в кристаллах с непрерывно изменяющимися по глубине параметрами решетки получены лишь для геометрии Брэгга [9]. Проблема Лауэ-дифракции в одномерно-деформированном кристалле с микродефектами в рамках статистической динамической теории рассеяния осталась нерассмотренной. Решению этой проблемы на примере гармонической сверхрешетки посвящена данная работа.

### 1. Уравнения для когерентных полей

Для простоты рассмотрим симметричную Лауэ-дифракцию рентгеновских лучей на плоскопараллельном кристалле толщиной  $t$  с поперечной гармонической модуляцией межплоскостного расстояния. Модуляция приводит к одномерной синусоидальной волне статических

смещений  $\langle \mathbf{u}(z) \rangle$ . Помимо этого существуют мелкомасштабные случайные смещения  $\delta \mathbf{u}$ , вызванные статистически распределенными по сверхрешетке микродефектами. В уравнениях дифракции полное поле атомных смещений присутствует в виде суммы [9]

$$\mathbf{u} = \langle \mathbf{u} \rangle + \delta \mathbf{u}.$$

Ось  $Z$  выбранной системы координат направлена по нормали к входной поверхности в глубь кристалла. Создаваемые периодические смещения направлены параллельно поверхности входа и имеют вид

$$\langle \mathbf{u}(z) \rangle = \mathbf{u}_0 \sin(\nu z), \quad (1)$$

где  $\nu = 2\pi/L$ ,  $L$  — период модуляции сверхрешетки. Амплитуда периодических смещений  $\mathbf{u}_0$  прямо пропорциональна амплитуде деформации кристаллической решетки  $\Delta d$  и периоду модуляции  $L$ .

Пусть на поверхности входа сверхрешетки падает плоская  $\sigma$ -поляризованная монохроматическая рентгеновская волна под углом  $\vartheta$  к системе отражающих атомных плоскостей.

Распространение рентгеновских лучей в кристаллической среде с одномерной деформацией описывается уравнениями Такаги-Топпана [10]

$$\begin{aligned} \frac{dE_0}{dz} &= i\sigma_0 E_0 + i\sigma_{-g} e^{ig\mathbf{u}} E_g, \\ \frac{dE_g}{dz} &= i(\sigma_0 + \eta) E_g + i\sigma_g e^{-ig\mathbf{u}} E_0, \end{aligned} \quad (2)$$

где  $E_{0,g}$  — полные амплитуды полей в направлениях прохождения и дифракции

$$E_{0,g} = \langle E_{0,g} \rangle + \delta E_{0,g},$$

Здесь  $\langle E_{0,g} \rangle = E_{0,g}^c$  и  $\delta E_{0,g}$  — соответственно когерентные и диффузные (некогерентные) составляющие,  $\mathbf{g}$  — вектор дифракции.

Динамические коэффициенты  $\sigma_0$  и  $\sigma_{\pm g}$  определяются значениями Фурье-компонент поляризуемостей  $\chi_0$ ,  $\chi_{\pm g}$ , длиной волны падающего рентгеновского излучения  $\lambda$  и направляющими косинусами  $\gamma_0$ ,  $\gamma_g$  (в симметричном случае Лауэ  $\gamma_0 = \gamma_g = \gamma$ )

$$\sigma_0 = \pi \chi_0 (\lambda \gamma)^{-1}, \quad \sigma_{\pm g} = \pi \chi_{\pm g} C (\lambda \gamma)^{-1}.$$

Для  $\sigma$ -поляризованного излучения поляризационный множитель  $C = 1$ . Угловая переменная  $\eta$  в симметричном случае Лауэ имеет вид

$$\eta = 2\pi \Delta \vartheta \sin(2\vartheta_0) / (\lambda \gamma),$$

где  $\vartheta_0$  — угол Брэгга для усредненного параметра решетки сверхрешетки, а  $\Delta \vartheta = \vartheta - \vartheta_0$ .

Преобразуем систему уравнений (2) с помощью замены

$$\tilde{E}_0 = E_0 e^{-i\sigma_0 z}, \quad \tilde{E}_g = E_g e^{-i(\sigma_0 + \eta)z}. \quad (3)$$

В результате имеем

$$\begin{aligned}\frac{d\tilde{E}_0}{dz} &= i\sigma_{-g}\Phi e^{i\eta z}\tilde{E}_g, \\ \frac{d\tilde{E}_g}{dz} &= i\sigma_g\Phi^* e^{-i\eta z}\tilde{E}_0,\end{aligned}\quad (4)$$

где фазовый фактор  $\Phi$  включает в себя периодические  $\Phi_p$  и флуктуационные  $\Phi_f$  смещения атомов от их положения в идеальной решетке

$$\Phi = \Phi_p \Phi_f = \exp(ig\langle g \rangle) \exp(ig\delta u). \quad (5)$$

Из системы уравнений (4) для рентгеновских полей  $\tilde{E}_0$  и  $\tilde{E}_g$  с учетом граничных условий Лауэ-дифракции запишем формальные решения в интегральной форме

$$\begin{aligned}\tilde{E}_0(z) &= \tilde{E}_0(0) + i\sigma_g \int_0^z \Phi(z') e^{i\eta z'} \tilde{E}_g(z') dz', \\ \tilde{E}_g(z) &= i\sigma_g \int_0^z \Phi^*(z') e^{-i\eta z'} \tilde{E}_0(z') dz'.\end{aligned}\quad (6)$$

Следуя [3], проведем статистическое усреднение уравнений (4). Используя формальное решение (6) и пренебрегая корреляцией между флуктуациями фазового фактора  $\Phi$  и амплитудами полей, получаем уравнения для когерентных волн  $\tilde{E}_{0,g}^c = \langle \tilde{E}_{0,g}^c \rangle$

$$\begin{aligned}\frac{d\tilde{E}_0^c}{dz} &= i\sigma_{-g} e^{-i(\eta z + \mathbf{g}(u))} \left\{ \tilde{E}_g^c E + i\sigma_g \int_0^z dz' e^{-i(\eta z' + \mathbf{g}(u))} \tilde{E}_0(z') \langle \delta\Phi(z) \delta\Phi^*(z') \rangle \right\}, \\ \frac{d\tilde{E}_g^c}{dz} &= i\sigma_g e^{-i(\eta z + \mathbf{g}(u))} \left\{ \tilde{E}_0^c E + i\sigma_{-g} \int_0^z dz' e^{i(\eta z' + \mathbf{g}(u))} \tilde{E}_g(z') \langle \delta\Phi^*(z) \delta\Phi(z') \rangle \right\},\end{aligned}\quad (7)$$

где

$$\delta\Phi(z) = \Phi_f E, \quad E = \langle \Phi_f \rangle = \langle e^{ig\delta u} \rangle, \quad (8)$$

$E$  — статический фактор Дебая-Валлера.

Предположим, что поля  $\tilde{E}_{0,g}$  слабо меняются по длине корреляции. Придерживаясь далее рассуждений, проведенных в [3], интегриродифференциальные уравнения (7) преобразуем к замкнутой системе дифференциальных уравнений для когерентных амплитуд

$$\frac{d\tilde{E}_0^c}{dz} = i\sigma_{-g} E e^{i(\eta z + \mathbf{g}(u))} \tilde{E}_g^c - a\tau^* \tilde{E}_g^c,$$

$$\frac{d\tilde{E}_g^c}{dz} = i\sigma_g E e^{-i(\eta z + \mathbf{g}\langle \mathbf{u} \rangle)} \tilde{E}_0^c - a\tau^* \tilde{E}_g^c, \quad (9)$$

где  $a = \sigma_g \sigma_{-g} (1 - E^2)$ . Присутствующий в (9) параметр  $\tau$  представляет собой

$$\tau = \tau(z, \eta) = \int_0^\infty e^{i\eta\xi} G(\xi, z) e^{-i\mathbf{g}\langle \mathbf{u}(z-\xi) \rangle - \langle \mathbf{u}(z) \rangle} d\xi \quad (10)$$

корреляционную длину деформированного кристалла, причем  $\tau(0, 0) = \tau_0 \ll \Lambda_{\text{ext}}$ , где  $\tau_0$  имеет смысл корреляционной длины Като [3],  $\Lambda_{\text{ext}}$  — экстинкционная длина совершенного кристалла [10]. В рамках рассмотренного подхода статистическое распределение микродефектов в сверхрешетке определяется собственной корреляционной функцией

$$G(\xi, z) = \langle \delta\Phi(z) \delta\Phi^*(z - \xi) \rangle / (1 - E^2). \quad (11)$$

В случае однородного распределения дефектов эта функция не зависит от координаты  $z$ . Используя преобразование (3), перейдем от системы (9) к уравнениям для когерентных полей  $E_{0,g}^c$

$$\frac{dE_0^c}{dz} = i(\sigma_0 + ia\tau) E_0^c + i\sigma_g E e^{i\mathbf{g}\langle \mathbf{u} \rangle} E_g^c,$$

$$\frac{dE_g^c}{dz} = i(\sigma_0 + \eta + ia\tau^*) E_g^c + i\sigma_g E e^{-i\mathbf{g}\langle \mathbf{u} \rangle} E_0^c. \quad (12)$$

Система уравнений (12) описывает одномерную Лауэ-дифракцию рентгеновских волн в кристаллах с усредненными и флуктуационными полями атомных смещений.

## 2. Диффузное рассеяние

Для анализа углового распределения интенсивности выходящих пучков необходимо принять во внимание оба канала дифракционного рассеяния, т.е. учесть вклады в КДО когерентной и диффузной компоненты. Когерентно-рассеянная интенсивность в направлении прохождения и дифракции может быть определена из решения дифференциальных уравнений

$$\frac{dI_0^c}{dz} = i\sigma_0 I_0^c - a\tau I_0^c + i\sigma_{-g} e^{i\mathbf{g}\langle \mathbf{u} \rangle} E \langle E_0^{*c} E_g^c \rangle + \text{k.c.},$$

$$\frac{dI_g^c}{dz} = i(\sigma_0 + \eta) I_g^c - a\tau^* I_g^c + i\sigma_g e^{-i\mathbf{g}\langle \mathbf{u} \rangle} E \langle E_0^c E_g^{*c} \rangle + \text{k.c.}, \quad (13)$$

которые в свою очередь получают из системы уравнений (12). Уравнения для полных интенсивностей  $I_{0,g}$ , включающих в себя когерентную и диффузную компоненты, получают на основе системы (2). Отметим, что интенсивность диффузно-рассеянных волн может быть

определена путем вычитания из полной интенсивности  $I_{0,g}$  когерентной составляющей  $I_{0,g}^c$

$$I_{0,g}^d = I_{0,g} - I_{0,g}^c,$$

где

$$I_{0,g}^c = \langle E_{0,g} \rangle \langle E_{0,g}^* \rangle, \quad I_{0,g} = \langle E_{0,g} E_{0,g}^* \rangle.$$

С другой стороны, некогерентно-рассеянные интенсивности также могут быть записаны через флуктуационные поля  $\delta E_{0,g}$

$$I_{0,g}^d = \langle \delta E_{0,g} \delta E_{0,g}^* \rangle$$

Следуя процедуре вычислений [3,11], в результате несложных преобразований получаем систему уравнений для интенсивностей диффузно-рассеянных волн

$$\begin{aligned} \frac{dI^d}{dz} &= -\mu_0 I_0^d + \beta_{-g} I_g^c + \chi_{-g} I_g^d, \\ \frac{dI^d}{dz} &= -\mu_g I_g^d + \beta_g I_0^c + \chi_g I_0^d. \end{aligned} \quad (14)$$

Коэффициенты, входящие в правые части уравнений, имеют вид

$$\begin{aligned} \mu_{0,g} &= 2 \operatorname{Im}(\sigma_0) + 2 \operatorname{Re} \left[ \sigma_g \sigma_{-g} (1 - E^2) \left\{ \frac{\tau'}{\tau'^*} \right\} \right] + 2 \operatorname{Re} \left[ \sigma_g \sigma_{-g} E^2 \left\{ \frac{\Gamma_0}{\Gamma_g^*} \right\} \right], \\ \beta_{\mp g} &= 2 \operatorname{Re} \left[ |\sigma_{\mp g}|^2 (1 - E^2) \left\{ \frac{\tau'}{\tau'^*} \right\} \right], \\ \chi_{\mp g} &= 2 \operatorname{Re} \left[ |\sigma_{\mp g}|^2 (1 - E^2) \left\{ \frac{\tau'}{\tau'^*} \right\} \right] + 2 |\sigma_{\mp g}|^2 E^2 \left\{ \frac{\Gamma_{gr}}{\Gamma_{0r}} \right\}. \end{aligned} \quad (15)$$

Здесь верхние выражения в фигурных скобках относятся к верхнему знаку индекса, т.е. первому уравнению системы (14). Длины корреляций

$$\begin{aligned} \Gamma_0 &= \int_0^\infty d\xi e^{-ig((u(z-\xi)) - (u(z))) + i\eta\xi} G_0(\xi, z), \\ \Gamma_g &= \int_0^\infty d\xi e^{-ig((u(z-\xi)) - (u(z))) + i\eta\xi} G_g(\xi, z) \end{aligned}$$

характеризуют когерентное рассеяние диффузных волн на деформированной решетке. Корреляционные функции флуктуационных полей

$$G_0(\xi, z) = \langle \delta \tilde{E}_0^*(z) \delta \tilde{E}_0(z - \xi) \rangle,$$

$$G_g(\xi, z) = \langle \delta \tilde{E}_g(z) \delta \tilde{E}_g^*(z - \xi) \rangle$$

нормированы на  $I_0^d$  и  $I_g^d$  соответственно. Более подробное обсуждение корреляционных длин  $\Gamma_{0,g}$  для кристалла с  $\mathbf{g}(\mathbf{u}) = 0$  можно найти в [11].

### 3. Длина корреляции

Длину корреляции (10) применительно к модулированному кристаллу с периодическим полем атомных смещений (1) запишем в виде

$$\tau(\eta, z) = e^{-ig_{u_0} \sin(\nu z)} \sum_{m=-\infty}^{\infty} J_m(A) e^{i\nu m z} \int_0^{\infty} G(\xi, z) e^{i\eta m \xi} d\xi, \quad (16)$$

$$A = |g_{u_0}|, \quad \eta_m = \eta - m\nu.$$

Здесь, как и в работе [8], мы воспользовались разложением экспонент  $e^{iA \sin(\nu(z-\xi))}$  в ряд по функциям Бесселя  $J_m(A)$ .

Выражение для корреляционной длины запишем в следующем виде:

$$\tau(\eta, z) = \sum_{m=-\infty}^{\infty} J_m(A) e^{-i[g_{u_0} \sin(\nu z) - \nu m z]} \tau_m(\eta, z), \quad (17)$$

где

$$\tau_m(\eta, z) = \int_0^{\infty} G(\xi, z) e^{i\eta m \xi} d\xi \quad (18)$$

далее будем трактовать как локальные длины корреляций в угловых областях расположения спутников ( $m = \pm 1, \pm 2, \dots$ ) и основного максимума ( $m = 0$ ).

Следуя [6, 11, 12], рассмотрим модель дефектов в виде сферических аморфных кластеров без упругих полей деформации вне кластера. Дефекты однородно распределены по сверхрешетке. Принятой модели соответствует корреляционная функция [11]

$$G(\xi) = 1 - \frac{\xi}{4r_0\gamma_0} \left( 3 - \frac{(\xi)^2}{4r_0^2\gamma_0^2} \right),$$

где  $r_0$  — радиус кластера. Величина статфактора зависит от концентрации  $c$  и объема кластера

$$V_0 = \frac{4\pi r_0^3}{3}, \quad E = \exp(-cV_0).$$

Принятая модель лишь в известном приближении соответствует реальным дефектам кристаллической структуры [11]. Однако она достаточно удобна для анализа теоретических кривых дифракционного отражения искаженных кристаллов. Более реальная модель дефектов, например, кулоновского типа приводит к сложным формулам уже на этапе вычисления корреляционной функции [12]. Это существенно затрудняет вычисление корреляционных длин и проведение численных оценок.

#### 4. Модель сверхрешетки. Численные расчеты

Достаточно полный анализ влияния длины модуляции  $L$  на рентгеновскую дифракцию в гармонической сверхрешетке приведен в [13]. Хотя в настоящее время более интенсивно исследуется случай  $L \approx \Lambda_{\text{ext}}$  [1,13], в данной работе рассмотрена модель сверхрешетки с  $L \gg \Lambda_{\text{ext}}$  [14]. Такая модель принята для удобства численных расчетов углового распределения интенсивностей рентгеновских пучков. Так как машинное время счета определяется толщиной сверхрешетки, в качестве примера рассмотрим достаточно тонкий кристалл ( $t = 55 \mu$ ). Выбор модели сверхрешетки обусловлен и тем, чтобы по толщине кристалла укладывалось достаточное число периодов сверхрешетки. Рентгеновская дифракция на таком кристалле в отсутствие дополнительной модуляции проанализирована в работе [15]. При этом было показано, что период маятниковых биений определяется величиной статического фактора Дебая-Валлера. С другой стороны, маятниковый период определяется величиной длины и амплитуды модуляции, так как структурный фактор сверхрешетки

$$F_{g+\nu m} \approx J_m(A)F_g,$$

где  $F_g$  — структурный фактор основного отражения совершенного кристалла [13]. Следовательно, период маятниковых биений неидеальной сверхрешетки  $l_m$  будет отличаться от соответствующего периода идеального кристалла  $l_{\text{perf}}$ . Соотношение, связывающее  $l_m$  и  $l_{\text{perf}}$ , имеет вид

$$l_m = \frac{l_{\text{perf}}}{E J_m(A)}.$$

Здесь  $m = 0$  относится к главному максимуму сверхрешетки,  $m = \pm 1, \pm 2, \dots$  к соответствующим сателлитам.

Численные расчеты выполнены для кристалла кремния с гармонической модуляцией межплоскостного расстояния (длина модуляции  $L \approx 0.37 \mu$ ). Выбрано (220) отражение  $\text{CuK}\alpha_1$ -излучения.

На рис. 1 проиллюстрирован маятниковый эффект сверхрешетки для отраженной ( $a, c$ ) и проходящей ( $b, d$ ) волн в угловой области основного максимума ( $a, b$ ) и сателлита ( $c, d$ ). Кривые 1-3 показывают изменение периода маятникового биения в угловой области основного максимума и первого сателлита в зависимости от амплитуды модуляции  $\Delta d = d - d_0$  и величины статфактора  $E$ . Здесь  $d$  — максимальное значение межплоскостного расстояния,  $d_0$  — соответствующее значение для идеального кристалла. Угловые распределения интенсивностей отраженной и проходящей волн в окрестности основного максимума и левого сателлита, соответствующие маятниковым кривым 1-3, изображены соответственно на рис. 2-4.

На рис. 2 показаны кривые отражения ( $a, c$ ) и прохождения ( $b, d$ ) модулированного кристалла. Верхние кривые ( $a, b$ ) относятся к основному отражению, нижние — к области расположения первого сателлита. Такое же размещение и на следующих рисунках. Диффузная компонента в области расположения сателлита на всех рисунках представлена в увеличенном масштабе.

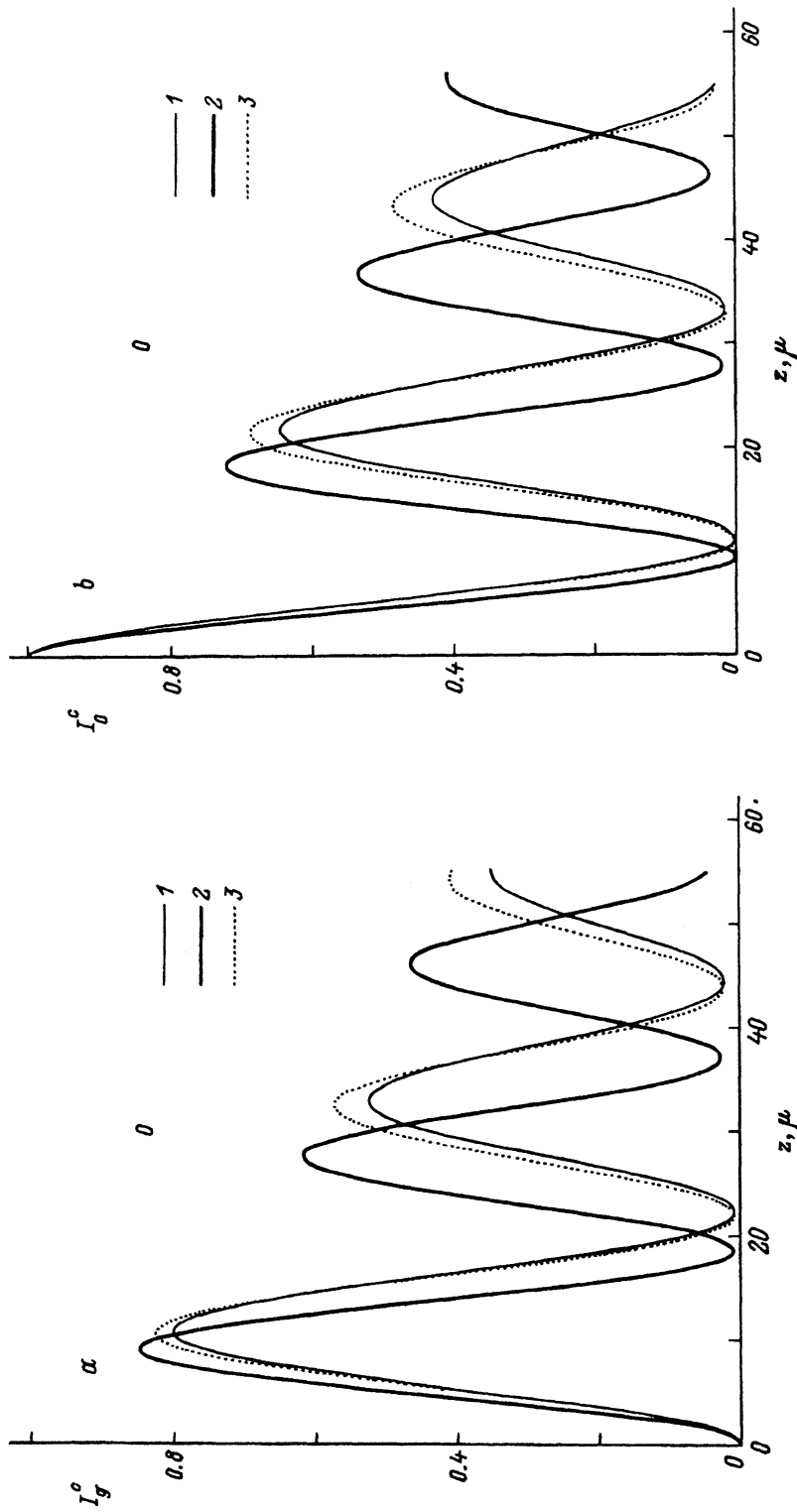


Рис. 1. Маятниковый эффект для когерентных составляющих отраженной  $I_0^c$  (a, c) и проходящей  $I_0^c$  (b, d) волн в угловой области основного максимума (a, b) и первого сателлита (c, d).  
 $I$  —  $\Delta d/d_0 = 10^{-4}$ ,  $E = 10^{-4}$ , 0.84; 2 —  $10^{-4}$ , 0.84; 3 —  $4.29 \cdot 10^{-4}$ , 0.84. Здесь и на последующих рисунках радиус кластеров  $\tau_0 = 0.2 \mu$ , длина модуляции гармонической сверхрешетки  $L = 0.37 \mu$ .



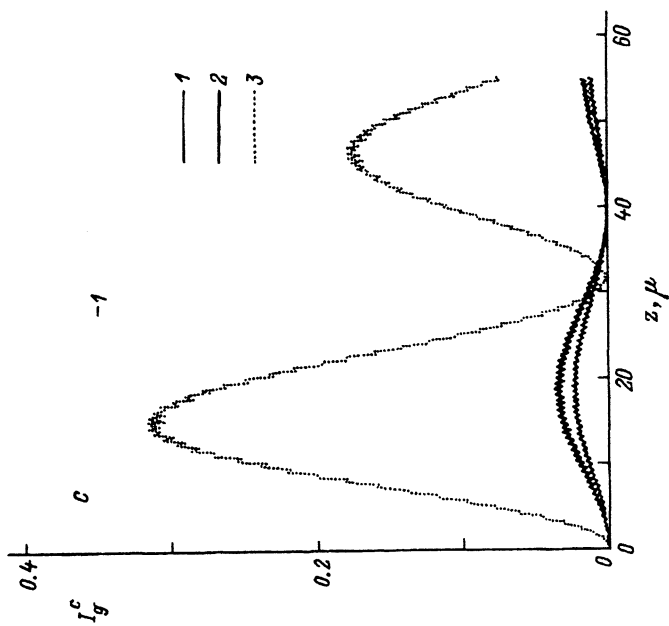
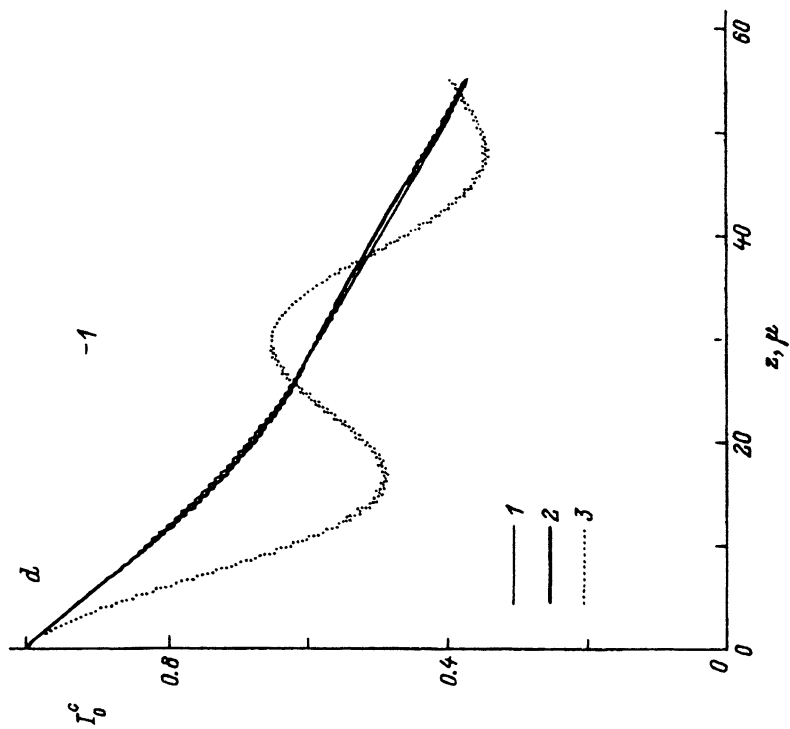


Рис. 1. (продолжение).

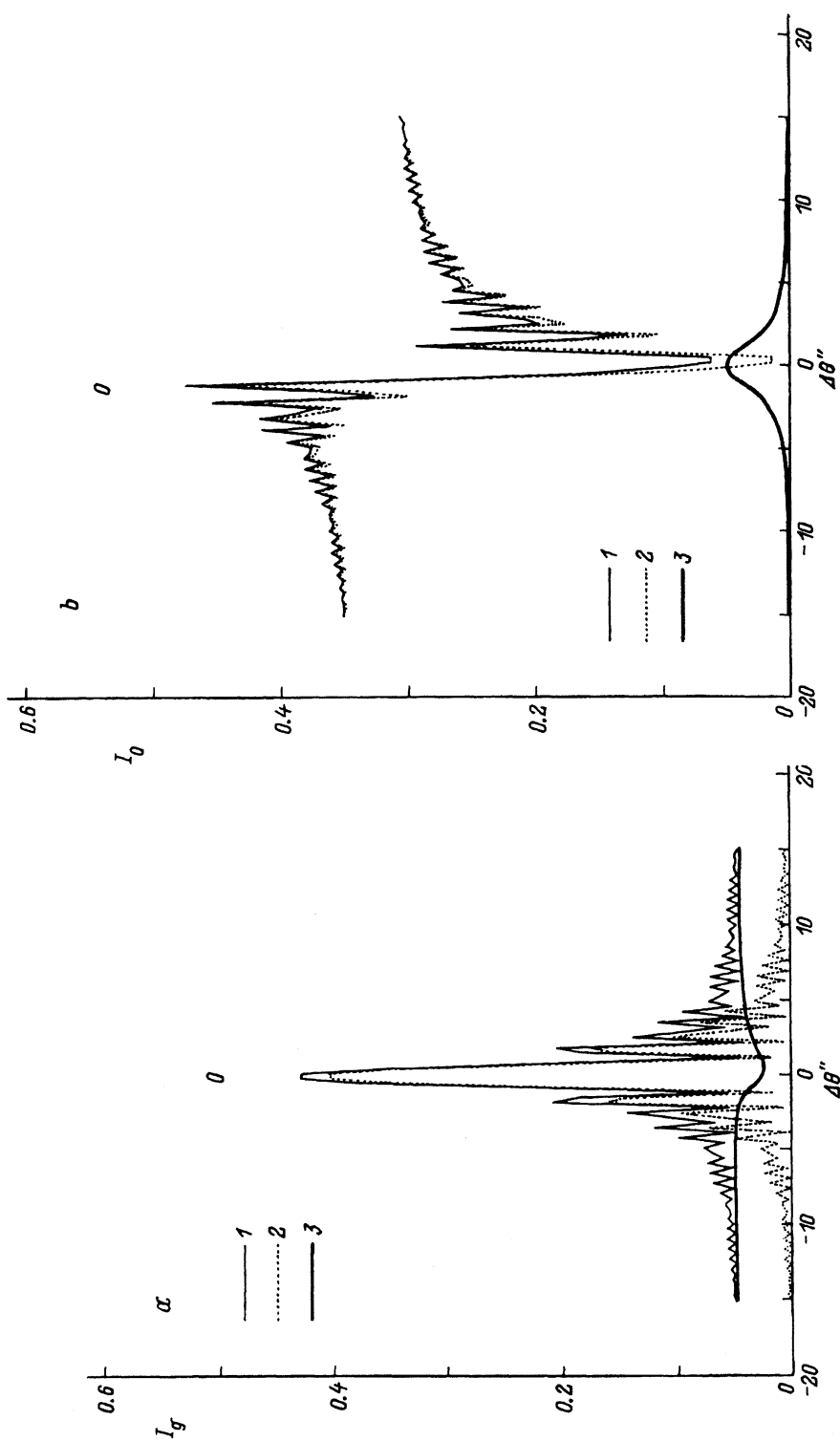


Рис. 2. Кривые дифракционного отражения (а,с) и прохождения (b,d).

а, b — область основного отражения; с, d — область первого сателлита. Здесь и на следующих рисунках: 1 — полная интенсивность, 2 — когерентная интенсивность, 3 — диффузная интенсивность.  $\Delta d/d_0 = 10^{-4}$ ,  $E = 0.7$ .

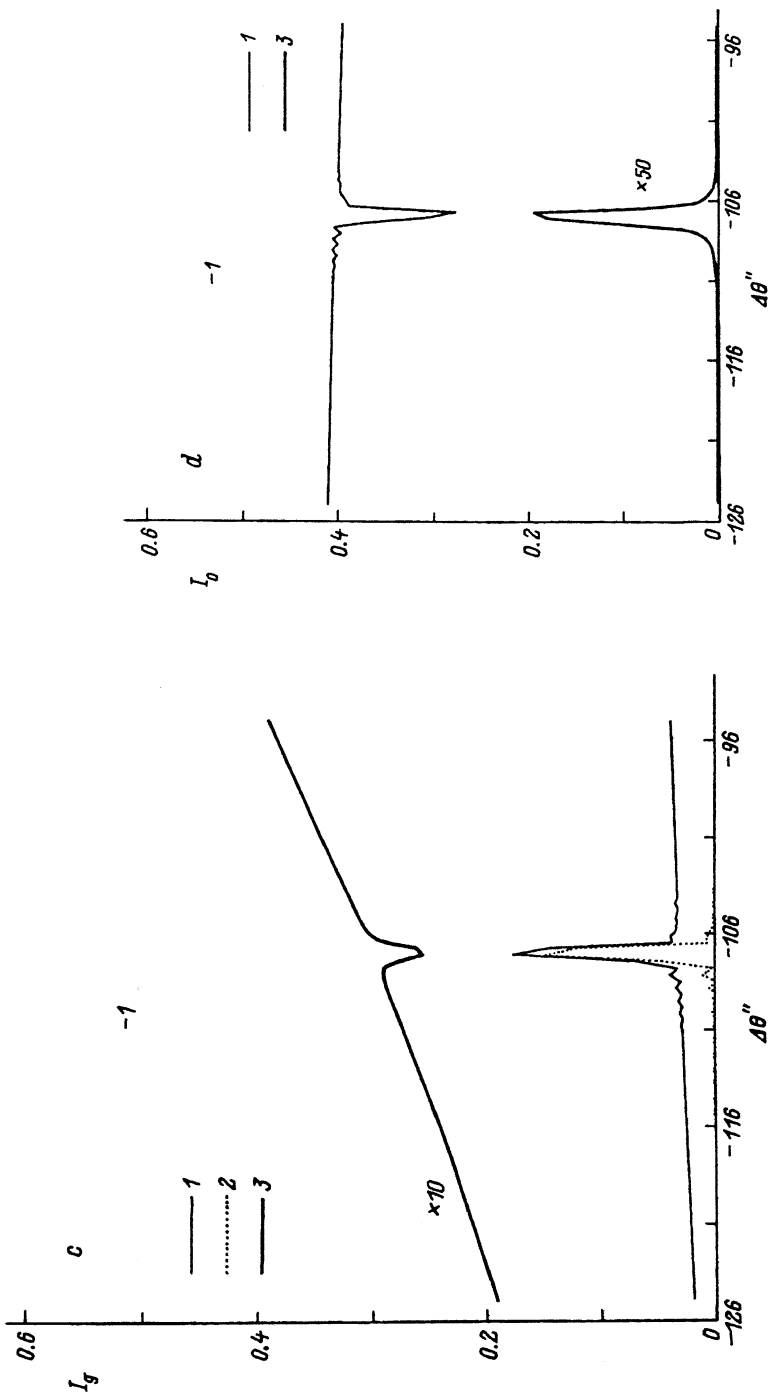


Рис. 2. (продолжение).

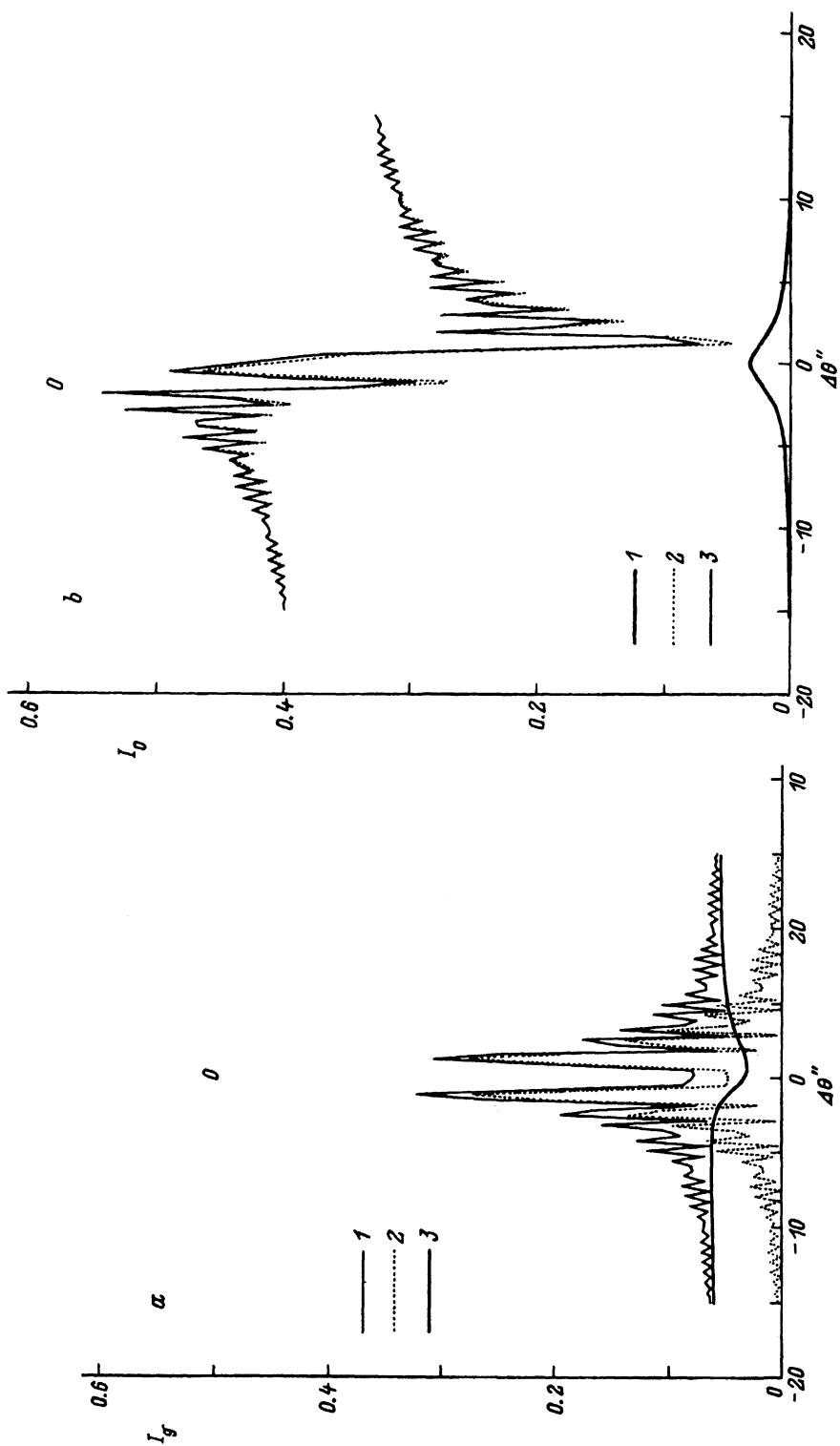


Рис. 3. Кривые дифракционного отражения (a,c) и прохождения (b,d).  
 a,b — область основного отражения; c,d — область первого сателлита.  $\Delta d/d_0 = 10^{-4}$ ,  $E = 0.84$ .

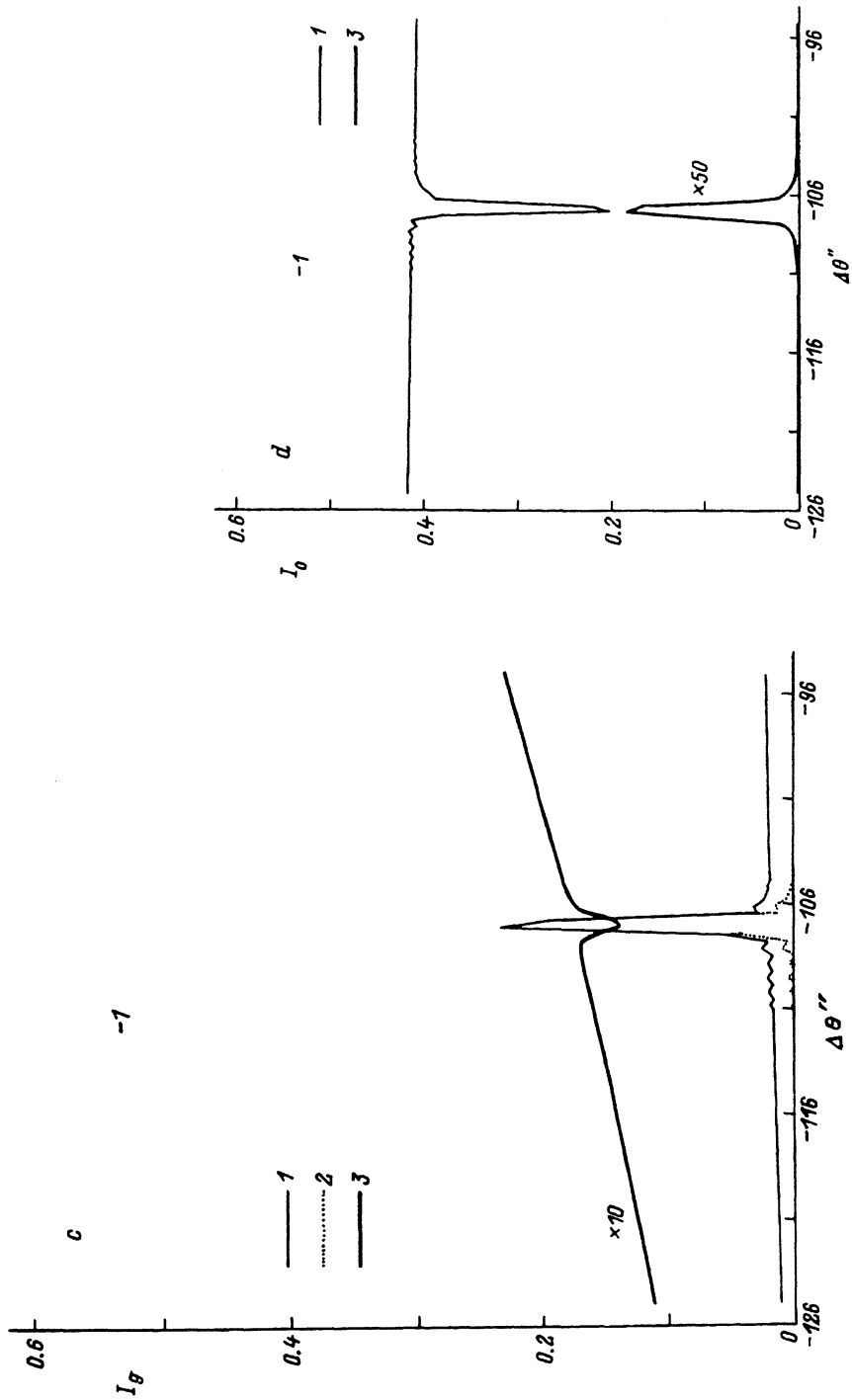


Рис. 3. (продолжение)

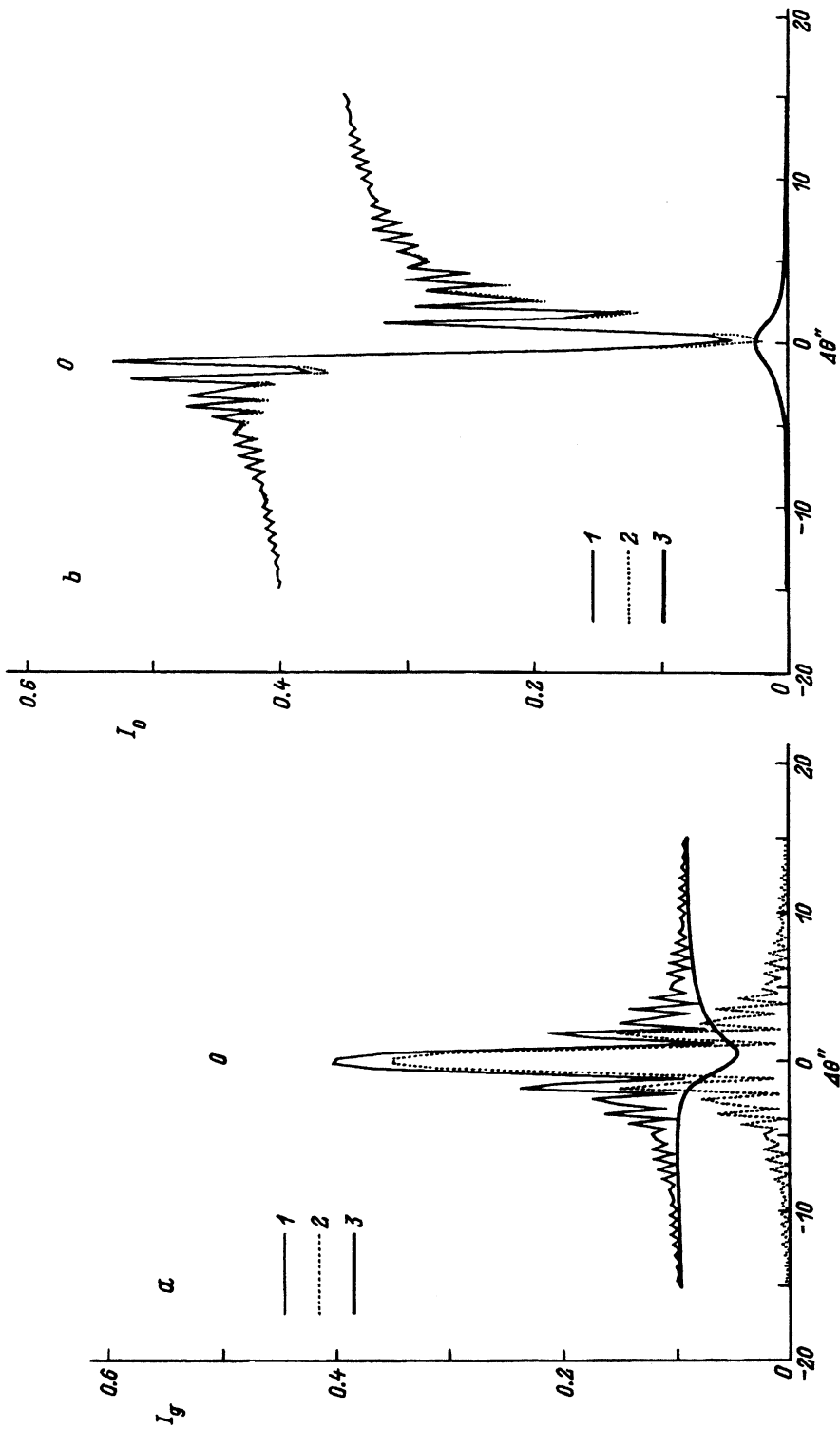


Рис. 4. Кривые дифракционного отражения (а, с) и прохождения (b, d).

а, b — область основного отражения; с, d — область первого сателлита. Амплитуда модуляции  $\Delta d/d_0 = 4.29 \cdot 10^{-4}$ ,  $E = 0.84$ .

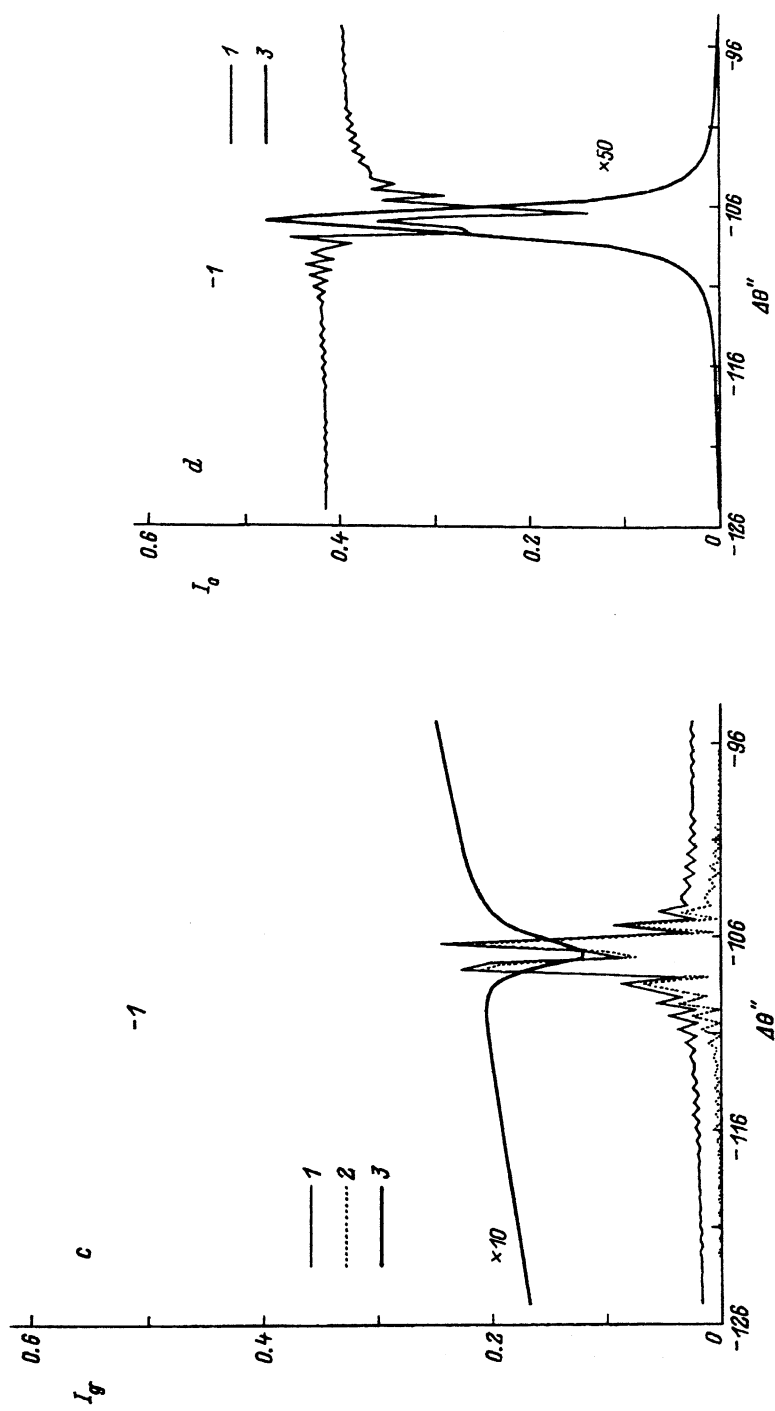


Рис. 4. (продолжение).

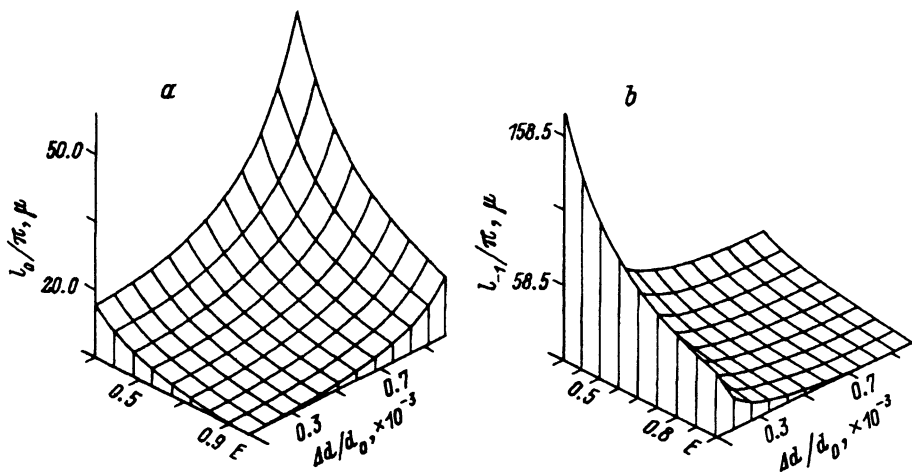


Рис. 5. Зависимость периода маятниковых биений в области основного максимума (а) и в области первого сателлита (b) от статфактора  $E$  ( $0.3 + 0.99$ ) и амплитуды модуляции  $\Delta d/d_0$  ( $10^{-4} - 10^{-3}$ ).

Согласно проведенному численному эксперименту, уменьшение концентрации дефектов приводит к изменению формы кривых отражения и прохождения в угловой области основного пика (рис. 3). Это связано с изменением периода маятникового биения (рис. 1, кривые 1, 2). Однако вид когерентной составляющей сателлита изменился слабо. Причина этого эффекта заключается в неодинаковом (несинхронном) изменении периода маятниковых биений для различных угловых областей дифракционного спектра. Действительно, согласно рис. 1, период маятникового биения в области основного максимума изменился существенно, тогда как в угловой области сателлита остался практически без изменения. Интенсивность диффузного рассеяния уменьшилась вследствие уменьшения концентрации дефектов.

Профиль когерентной составляющей может снова измениться и принять практически первоначальный вид (рис. 2) подбором амплитуды модуляции (рис. 4). Иными словами, период маятниковых биений в области основного максимума сверхрешетки в данном случае изменяется не за счет дефектов, а вследствие изменения непрерывной периодической деформации. Таким образом, недостающая концентрация дефектов компенсируется увеличением амплитуды периодической деформации (ср. кривые 1 и 3 на рис. 1, а, b). Однако более сильное обозначение периода модуляции ведет к заметному увеличению взаимодействия рентгеновской волны со сверхструктурой в угловой области сателлита. Это приводит к росту интенсивности отраженной волны и уменьшению периода маятникового биения (рис. 1, с, d). Следовательно, угловой профиль сателлита может существенно измениться (рис. 4). Таким образом, два фактора влияют на формирование углового спектра проходящей и дифрагированной интенсивности тонкого модулированного кристалла с постоянной длиной модуляции  $L$ . К первому следует отнести величину статического фактора Дебая-Валлера. Последний в свою очередь зависит от типа, концентрации и размеров



дефектов. Вторым фактором является дополнительная периодическая модуляция. Она проявляется через соответствующие функции Бесселя, аргумент которых зависит от амплитуды и периода модуляции.

Итак, согласно численному эксперименту, наличие дефектов заметно изменяет картину дифракции в области основного максимума и практически оставляет ее неизменной в области сателлита. С другой стороны, изменение параметров, определяющих дополнительную модуляцию ( $\Delta d$  и  $L$ ), заметно влияет на маятниковый период как основного, так и сателлитного максимума. Если увеличение концентрации дефектов в общем случае приводит к удлинению маятникового периода как в области основного максимума, так и в области сателлита (рис. 5, *a*), то увеличение амплитуды деформации уменьшает длину маятниковых колебаний в угловой области сателлита (рис. 5, *b*). Этот эффект может быть использован для определения концентрации и размеров дефектов (статфактора  $E$ ) с помощью разных режимов создания сверхрешеточной структуры.

#### Список литературы

- [1] Ассур К.П., Энтин И.Р. // ФТТ. 1982. Т. 24. № 7. С. 2122-2129.
- [2] Хапачев Ю.П., Чуховский Ф.Н. // Металлофизика. 1991. Т. 13. № 7 С. 65-85.
- [3] Kato N. // Acta Cryst. (a). 1980. V. 36. N 5. P. 763-769, 770-778.
- [4] Бушуев В.А. // ФТТ. 1989. Т. 31. № 11. С. 70-78.
- [5] Пунегов В.И. // ФТТ. 1991. Т. 33. № 1. С. 234-242.
- [6] Пунегов В.И. // Письма в ЖТФ. 1992. Т. 18. № 4. С. 65-70.
- [7] Пунегов В.И. // ФТТ. 1990. Т. 32. № 8. С. 2476-2478.
- [8] Пунегов В.И. // ЖТФ. 1990. Т. 60. № 10. С. 82-87.
- [9] Пунегов В.И. Кристаллография. 1990. Т. 35. № 3. С. 576-583.
- [10] Пинскер З.Г. Рентгеновская кристаллооптика. М.: Наука, 1982. 391 с.
- [11] Бушуев В.А. // Деп. ВИНТИ. М., 1988. № 486-В88. 51 с.
- [12] Воронков С.Н., Чуховский Ф.Н. // Металлофизика. 1989. Т. 11. № 6. С. 52-56.
- [13] Энтин И.Р. // Проблемы рентгеновской диагностики несовершенства кристаллов. Ереван, 1985. С. 201-221.
- [14] Köhler R., Möhling W., Peibst H. // Phys. Stat Sol. (b). 1974. V. 61. N 1. P. 173-180.
- [15] Пунегов В.И., Павлов К.М. // Письма в ЖТФ. 1992. Т. 18. № 12. С. 60-64.

Сыктывкарский государственный университет

Поступило в Редакцию  
4 марта 1993 г.